

李红梅, 范建忠. 关中夏玉米生育期气象干旱特征分析 [J]. 陕西气象, 2015 (4): 1-5.

文章编号: 1006-4354 (2015) 04-0001-05

关中夏玉米生育期气象干旱特征分析

李红梅, 范建忠

(陕西省农业遥感信息中心, 西安 710014)

摘要: 利用 1971—2012 年宝鸡、泾阳、武功、长安、临潼、渭南、大荔 7 个地面气象观测站点逐日降水、标准化降水指数 (I_{SP30} 、 I_{SP60} 、 I_{SP90})、和相对湿度指数 (I_{M30}) 计算关中夏玉米生育期逐日有效降水和改进的综合气象干旱指数, 采用趋势分析、滑动 t 检验及相关数理统计法分析了近 42 a 关中夏玉米生育期干旱时空分布特征。结果表明: 夏玉米生育期有效降水量总体表现出不稳定性, 播种至出苗有效降水变化量最大; 20 世纪 90 年代初夏玉米生育期有效降水发生由多到少的突变, 2002 年出现由少到多的转变; 7 月上旬至 8 月下旬是夏玉米干旱多发时段; 轻旱发生频率最高, 为 51.7%, 发生频率随着干旱等级加重而逐渐降低; 20 世纪 90 年代是干旱多发且较为严重阶段, 干旱过程累积强度强, 且持续时间长, 进入 21 世纪以后有减少趋势; 关中西部干旱日呈减少趋势, 东部呈增加趋势, 有效降水量与干旱日变化相反, 关中西部有效降水量呈增加趋势, 东部有减少趋势。

关键词: 夏玉米; 有效降水; 干旱日; 干旱累积强度; 分布特征; 关中

中图分类号: S423

文献标识码: A

关中是陕西粮食主产区, 主要实行夏玉米-冬小麦轮作制。关中夏玉米生育期一般在 6 月上中旬至 9 月下旬, 该时段高温多雨, 光照和热量条件相对稳定, 降水量在 191~405 mm, 但关中 90% 的站点该时段的降水量远低于夏玉米的需水量 (390~490 mm)^[1]。加之受高温蒸散和降水时空分布不均的影响, 干旱成为关中夏玉米生长季的主要农业气象灾害。近年来关于关中夏玉米的研究多侧重于玉米栽培技术^[2-3]、节水增产^[4-5]和施肥^[6], 对玉米生育期干旱研究仍为空白。结合有效降水和改进的综合气象干旱指数 I_{cnew} 分析关中夏玉米干旱时空分布特征, 旨在加深对关中夏玉米生育期干旱发生规律的认识, 为夏玉米生产提供参考。

1 资料与方法

1.1 数据来源

数据采用关中 7 个代表站点 (宝鸡、泾阳、

武功、长安、临潼、渭南、大荔) 1971—2012 年逐日降水资料、逐日 30 d、60 d 和 90 d 标准化降水指数 (I_{SP30} 、 I_{SP60} 、 I_{SP90}) 和 30 d 相对湿度指数 (I_{M30}), 1985—2012 年夏玉米生育期观测资料。其中, 降水和玉米生育期观测数据源于陕西省气象信息中心, 标准化降水指数和相对湿度指数数据源于国家气候中心。

1.2 方法

1.2.1 玉米生育期的划分 根据关中夏玉米生育期观测资料求算其各生育阶段平均生育期。关中夏玉米播种在 6 月上中旬, 播期及出苗好坏受播前底墒影响明显, 5 月下旬至 6 月上旬有效降水量对播种出苗尤为关键。苗期怕涝不怕旱, 适当缺水可促进壮苗形成, 根系深扎, 利于增强玉米后期抗旱能力。进入拔节期玉米耗水量逐渐增加, 完全进入生殖生长期后玉米耗水处于高峰期, 需水量最大^[7-8], 后期需水量逐渐减少。虽

收稿日期: 2014-10-27

作者简介: 李红梅 (1984—), 女, 陕西富县人, 学士, 工程师, 从事干旱综合监测与农业气象应用研究。

基金项目: 陕西省科学技术研究发展计划项目 (2014k13-09)

然关中东部和西部夏玉米生育期早晚略有差异,但各生育期大致时段相同。鉴于此,将关中夏玉米生育期划分为4个阶段:播种—出苗(6月7日—20日)、出苗—拔节(6月21日—7月20日)、拔节—抽雄(7月21日—8月10日)、抽雄—成熟(8月11日—9月30日)。

1.2.2 有效降水量和 I_{cnew} 指数的计算 有效降水量指旱地作物满足作物蒸发蒸腾所需要的降水量(不包括径流量、蒸发量和深层渗漏量)^[9-10],通常指自然降水量实际补给到作物根部土壤的净降水量。按单日降水量大于10 mm为有效降水,分别统计各站点夏玉米生育期有效降水,分析有

效降水的变化及对夏玉米干旱的影响效应。

改进的综合气象干旱指数 I_{cnew} 是在原有综合气象干旱指数 I_C 的基础引入 $I_{\text{SP}60}$,并根据季节对变量系数进行调整。公式为^[11]

$$I_{\text{cnew}} = a I_{\text{SP}30} + b I_{\text{SP}60} + c I_{\text{SP}90} + d I_{\text{M}30}, \quad (1)$$

式中 a, b, c, d 为系数,5—10月各系数分别取0.25、0.2、0.2、0.35;11月—次年4月取0.2、0.35、0.25、0.2。 I_{cnew}, I_C 与20 cm土壤相对湿度的相关系数分别为0.85和0.8,总体相关性均通过了0.01的显著性水平检验,但 I_{cnew} 与土壤相对湿度的相关性明显好于 I_C ,所以采用 I_{cnew} 作为干旱检验指标,干旱等级划分标准见表1。

表 1 I_{cnew} 干旱等级划分

| 干旱类型 | 无旱 | 轻旱 | 中旱 | 重旱 | 特旱 |
|------------------------|---------------------------------|------------------------------------|------------------------------------|------------------------------------|-----------------------------|
| I_{cnew} 等级划分 | $-0.6 < I_{\text{cnew}} < -1.2$ | $-1.2 < I_{\text{cnew}} \leq -0.6$ | $-1.8 < I_{\text{cnew}} \leq -1.2$ | $-2.4 < I_{\text{cnew}} \leq -1.8$ | $I_{\text{cnew}} \leq -2.4$ |

$I_{\text{cnew}} \leq -0.6$ 即为干旱日^[12]。 I_{cnew} 连续10 d ≤ -0.6 即为1个干旱过程,过程开始日为 I_{cnew} 达到轻旱以上等级的首日。干旱发生期连续10 d 无旱表示干旱过程结束,结束日为 I_{cnew} 最后一次达到无旱的日期。开始日至结束日为干旱持续时间,某站点干旱过程中所有 $I_{\text{cnew}} \leq -0.6$ 的值之和即为该站点干旱过程的累积强度,其值越小表示干旱过程越强^[13]。某一等级干旱发生频率为该等级干旱发生年占全部统计年的比例。

2 结果与分析

2.1 夏玉米生育期内有效降水量特征分析

1971—2012年,关中夏玉米生育期平均降水量为307.2 mm,平均有效降水量为236.5 mm,占生育期降水量的77%。如表2所示,各生育

期有效降水的最大、最小值年际差较大,其中抽雄—成熟期年际差达235 mm。全生育期有效降水变异系数小于各生育阶段,播种—出苗期有效降水变化最大,变异系数为1.14,其次是抽雄—成熟期。夏玉米全生育期及各生育阶段的有效降水总体表现出不稳定性。

图1为关中夏玉米生育期有效降水量滑动t检验。取序列长度为 $n_1=n_2=10$ 时,近42 a关中夏玉米生育期有效降水t统计量有两处超过0.01显著性水平检验,即存在2个突变点。一个为1992年($t=3.127$),说明玉米生育期有效降水在20世纪90年代初经历了由多到少的变化;另一个为2002年($t=-3.125$),说明夏玉米生育期在2002年附近发生了由少到多的突变。

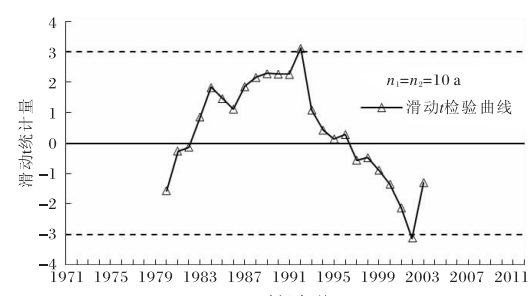


图 1 1971—2012年关中夏玉米生育期有效降水滑动t检验曲线

表 2 1971—2012年关中夏玉米生育期有效降水量统计特征

| 生育期 | 平均值 /mm | 最大值 /mm | 最小值 /mm | 标准差/mm | 变异系数 |
|-------|------------|------------|------------|--------|------|
| 全生育期 | 236.5 | 427.0 | 98.5 | 81.4 | 0.34 |
| 播种—出苗 | 12.3 | 53.1 | 0.0 | 14.0 | 1.14 |
| 出苗—拔节 | 57.8 | 125.2 | 5.8 | 39.6 | 0.51 |
| 拔节—抽雄 | 58.9 | 130.9 | 11.1 | 28.4 | 0.48 |
| 抽雄—成熟 | 77.5 | 243.7 | 8.3 | 47.7 | 0.62 |

由图 2 可见, 42 a 间, 关中夏玉米生育期内有效降水呈增加趋势, 气候倾向率为 $3.34 \text{ mm}/10 \text{ a}$, 但变化趋势不显著, 未通过 0.05 水平信度检验。夏玉米生育期内有效降水的年际波动较大, 最大值为 2003 年的 426 mm, 最小值为 1977 年的 99 mm, 相差 337 mm。关中夏玉米生育期有效降水平均占生育期总降水的 75.8%, 最多为 87.2% (1998 年), 最低为 63% (2001 年), 有 22 a 低于平均水平, 时间多集中在 20 世纪 80 年代中后期至 2008 年, 表明这一时期是关中夏玉米生育期有效降水量较少时期, 这与赵强等^[14]研究结论一致。

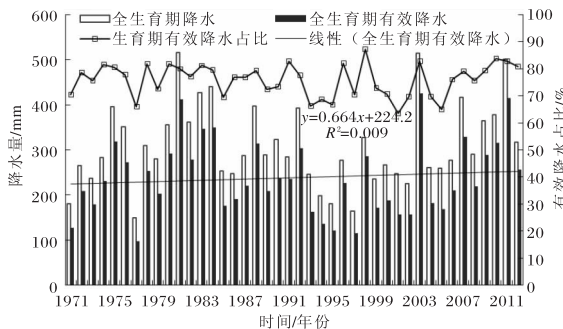


图 2 1971—2012 年关中夏玉米生育期降水及有效降水年际变化

2.2 夏玉米生育期干旱特征分析

2.2.1 干旱频率和干旱日 按 I_{cnew} 分级标准对各站夏玉米生育期干旱发生频率进行统计发现 (表略), 夏玉米各生育期轻旱发生频率最高, 平均为 51.7%, 随着干旱等级的加重, 发生频率相应降低, 中旱平均发生频率为 18.2%, 重度以上干旱为 7.7%。从关中夏玉米生育期干旱日统计 (表 3) 来看, 出苗—拔节期、抽雄—成熟期两个阶段年均干旱日相对较多, 播种—出苗期干旱日较少。

表 3 1971—2012 年关中夏玉米生育期干旱日统计 d

| 干旱等级 | 全生育期 | | | | |
|------|-------|-------|-------|-------|------|
| | 播种—出苗 | 出苗—拔节 | 拔节—抽穗 | 抽雄—成熟 | 全生育期 |
| 轻旱 | 1.9 | 7.7 | 3.9 | 9.6 | 23.0 |
| 中旱 | 0.5 | 1.2 | 0.8 | 2.2 | 4.7 |
| 重旱 | 0.3 | 1.2 | 0.4 | 1.3 | 3.2 |
| 合计 | 2.7 | 10.1 | 5.1 | 13.0 | 30.9 |

由图 3 可见, 关中夏玉米干旱日总体呈略微下降趋势, 20 世纪 90 年代初至 21 世纪初是玉米气象干旱多发时段, 且在 90 年代中期达到峰值。中度以上干旱日与总干旱日的年际变化特征大致相同, 80 年代处于低值期, 90 年代急剧增加, 进入 21 世纪以后有减少趋势。

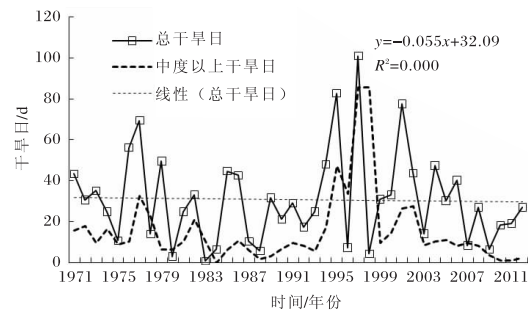


图 3 1971—2012 年关中夏玉米生育期干旱日年际变化

比较关中夏玉米生育期有效降水和干旱日的年际变化率 (表 4) 发现, 关中西部夏玉米生育期有效降水呈增加趋势, 关中东部呈减少趋势。而干旱日与有效降水量呈明显负相关 ($r = -0.83$), 关中西部干旱日呈减少趋势, 关中东部则呈增加趋势。

表 4 1971—2012 年关中夏玉米全生育期有效降水和干旱日变化趋势率

| 站点 | 有效降水 / (mm/10 a) | 干旱日数 / (d/10 a) |
|----|------------------|-----------------|
| 宝鸡 | 8.2 | -1.7 |
| 武功 | 10.0 | -2.1 |
| 泾阳 | -3.2 | 3.0 |
| 长安 | 17.1 | -5.0 |
| 临潼 | -1.7 | 1.1 |
| 渭南 | -6.0 | -0.4 |
| 大荔 | -11.2 | 0.8 |

2.2.2 干旱过程及强度变化 由表 5 可见, 关中夏玉米发育初期和后期干旱过程相对较少, 7 月上旬至 8 月下旬 (拔节至开花期) 干旱过程较多。42 a 间, 7—8 月的每旬干旱过程都在 12 次以上, 此阶段正是玉米营养生长和生殖生长并进阶段, 玉米对水分需求量最大且较为敏感^[7], 也

正值一年中温度最高、蒸散较快的时期^[15]，有效降水不能满足玉米耗水需求，干旱便随之发生。随着玉米生长后期对水分需求的减少，有效降水可以满足玉米耗水需求，干旱过程也随之减少。

表 5 1971—2012 年关中夏玉米生育期

各旬干旱过程统计 次

| 时间/旬 | 6月 | 7月 | 8月 | 9月 |
|------|----|----|----|----|
| 上 | 5 | 12 | 12 | 11 |
| 中 | 10 | 14 | 14 | 9 |
| 下 | 11 | 14 | 12 | 5 |

由图 4 可见，夏玉米生育期干旱过程累积强度在 20 世纪 70 年代至 80 年代末呈缓慢减弱趋势，90 年代初开始呈明显增强趋势，20 世纪 90 年代是 42 a 间干旱发生最严重时段，进入 2000 年以后干旱强度逐渐减弱。干旱过程持续时间与干旱过程累积强度呈明显负相关 ($r=-0.949$)。在干旱强度最强时段干旱过程持续时间也最长，都在 40 d 以上，进入 21 世纪后干旱过程持续时间呈明显减少趋势。

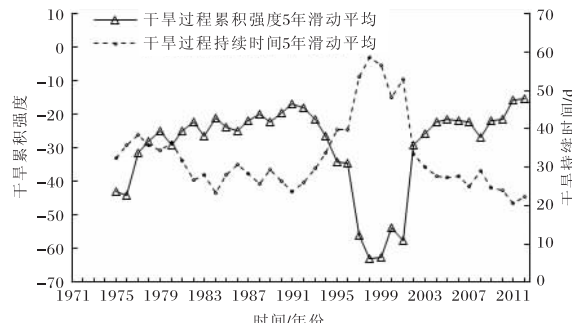


图 4 1971—2012 年关中夏玉米生育期干旱过程累积强度和持续时间 5 年滑动平均曲线

3 结论

(1) 1971 年—2012 年，关中夏玉米各生育阶段有效降水量最大、最小值年际相差较大。播种—出苗有效降水变化量最大，变异系数为 1.14。各生育阶段有效降水量总体表现出不稳定性。20 世纪 90 年代初关中夏玉米生育期有效降水经历了由多到少的突变，2002 年附近出现了

由少到多的转变。

(2) 关中夏玉米生育期轻旱发生频率最高，平均为 51.7%，随着干旱等级加重，发生频率逐渐降低。出苗—拔节期、抽雄—成熟期是整个生育期干旱日出现较多的时期。20 世纪 90 年代是干旱多发时段，进入 21 世纪以后有减少趋势。关中西部干旱日呈减少趋势，东部呈增加趋势。有效降水量与干旱日变化相反，关中西部有效降水量呈增加趋势，东部有减少趋势。

(3) 夏玉米生育期内干旱多发于 7 月上旬至 8 月下旬（拔节—开花期），发育初期和后期较少。夏玉米生育期干旱累积强度在 20 世纪 80 年代后期呈明显增强趋势，90 年代是 42 a 间关中夏玉米干旱发生最严重阶段，干旱过程累积强度强，且持续时间长，都在 40 d 以上。

(4) 影响作物干旱的因素较多，除了气象因子还有土壤、作物品种等等。 I_{new} 虽然对原有综合气象干旱指数做了改进，也仅考虑了气象要素，所以用来反映夏玉米生育期干旱有一定不足，今后将从作物干旱指标或作物耗水机理方面做进一步研究和探讨。

参考文献：

- [1] 中国主要农作物需水量等值线图协作组. 中国主要农作物需水量等值线图研究 [M]. 北京: 中国农业科技出版社, 1993: 39–47.
- [2] 高瑞景, 孟继宏, 康建恩. 关中夏玉米区陕单 308 高产栽培技术研究 [J]. 西北农业学报, 2007, 16 (5): 84–88.
- [3] 赵建兴, 王荣成, 翟军海, 等. 关中灌区夏玉米条带深旋高产栽培技术 [J]. 中国农技推广, 2013, 29 (7): 22–26.
- [4] 张柏治, 殷格侠, 张学. 关中灌区小麦、玉米高产节水灌溉的几个指标确定 [J]. 水土保持通报, 2009, 29 (5): 142–145.
- [5] 陈新明, 张学. 关中经济区小麦玉米节水增产高效试验研究 [J]. 节水灌溉, 2003 (3): 8–10.
- [6] 徐会善, 侯喜萍, 吴卫国, 等. 咸阳市夏玉米平衡施肥及施肥模式探讨 [J]. 陕西农业科学, 2011, 57 (6): 111–114.
- [7] 任鸿瑞, 罗毅. 鲁西北平原冬小麦和夏玉米耗水

马昕. 2014年初许昌市两次持续性大雾天气过程分析 [J]. 陕西气象, 2015 (4): 5-9.

文章编号: 1006-4354 (2015) 04-0005-05

2014年初许昌市两次持续性大雾天气过程分析

马 昕

(许昌市气象局, 河南许昌 461000)

摘要: 利用常规气象资料和 NECP1°×1°再分析资料对 2014 年 1 月 14—18 日和 1 月 30 日—2 月 2 日两次持续性大雾天气过程进行了诊断分析。结果表明: 两次过程均存在平流雾、辐射雾以及平流-辐射雾, 高空冷空气入侵南下是两次大雾天气结束的原因; 大雾期间, 高空环流形势较为稳定, 地面气压梯度较小, 大气层结存在不同程度的逆温, 有上干下湿的特征; 当有辐射雾出现时, 地面受均压场控制, 风速为 1~3 m/s, 整层均为西北气流; 有平流雾时, 地面受单一气压场控制, 风速为 4~6 m/s, 特别是低层存在暖湿气流的输送, 近地面存在弱辐合上升, 对流层中层存在弱辐散下沉; 能见度与温度露点差基本存在同位相变化, 与相对湿度存在显著的反位相变化。

关键词: 持续性大雾天气; 平流雾; 辐射雾; 要素特征; 许昌市

中图分类号: P458.11

文献标识码: A

雾是近地面空气中悬浮的大量水滴或冰晶微粒的乳白色集合体, 当水平能见度 $\leqslant 1 \text{ km}$ 时称为雾。随着社会经济的发展和人民生活水平的提高, 城市大气污染加剧, 大气中气溶胶粒子增多, 并聚集在近地面层, 大部分气溶胶粒子成为雾滴的凝结核, 使得雾滴密度增大^[1]; 另一方面, 大雾又加剧城市的大气污染, 对工业、农业

和人类身体健康等造成重大影响。大雾作为一种灾害性天气一直受到广泛关注, 对于大雾生消机理、演变规律和预报技术的研究有不少成果。李子华等^[2]、宋润田等^[3]针对大雾不同发展阶段温、压、风及湿度条件, 在雾的边界层结构和物理特性上进行了较为详尽的分析, 揭示出冬季雾生消的重要特点。王丽荣等^[4]通过对河北中南部

收稿日期: 2015-04-06

作者简介: 马昕 (1990—), 女, 河南许昌人, 硕士, 助理工程师, 主要从事天气预报及应用气象服务。

基金项目: 河南省科技发展计划项目 (122102310583); 许昌市科技发展计划项目 (1103009)

- 量的试验研究 [J]. 灌溉排水学报, 2004, 23 (4): 37-39.
- [8] 杨兴国, 刘宏谊, 傅朝, 等. 甘肃省主要农作物水分供需特征研究 [J]. 高原气象, 2004, 23 (6): 821-827.
- [9] 王晓东, 马晓群, 许莹, 等. 淮河流域主要农作物全生育期水分盈亏时空变化分析 [J]. 资源科学, 2013, 35 (3): 665-672.
- [10] 李勇, 杨晓光, 叶清, 等. 1961—2007 年长江中下游地区水稻需水量的变化特征 [J]. 农业工程学报, 2011, 27 (9): 175-183.
- [11] 李红梅, 王钊, 高茂盛. CI 指数的改进及其在陕西的适用性分析 [J]. 干旱地区农业研究, 2015, 33 (3): 260-266.
- [12] 刘可群, 李仁东, 刘志雄, 等. 基于 IC 指数的湖北干旱及其变化特征分析 [J]. 长江流域资源与环境, 2012, 21 (10): 1274-1280.
- [13] GB/T 20481—2006 气象干旱等级 [S].
- [14] 赵强, 严华生. 近 48 年陕西夏季降水场的时空变化特征 [J]. 陕西气象, 2012, (3): 15-17.
- [15] 耿蔚. 四川地区可利用降水分析 [J]. 高原山地气象研究, 2013, 33 (3): 83-86.